

粒子分辨 CCT 方法中的 δ 电子效应

朱永生 陈江川 程宝森

(中国科学院高能物理研究所 北京 100039)

摘要 提出了切伦科夫相关时间测量(CCT)中初始粒子在辐射体里产生的 δ 电子的干扰问题, 以及降低干扰的方法。通过模拟计算给出了北京 τ -C 工厂探测器初步设计中 CCT 的 π/K 分辨本领。

关键词 切伦科夫相关时间测量 粒子分辨 δ 电子 北京 τ -C 工厂

1 引言

高能加速器实验物理的发展方向之一是高亮度束流下的精密测量, 建造中和拟建造的 B 介子工厂 BaBar^[1]、Bell^[2] 和北京 τ -C 工厂 BTCF^[3] 为此种方向的代表, 研究课题是 $c\bar{c}$ 、 $\tau^+\tau^-$ 、 $B\bar{B}$ 产生阈附近的粲物理、 τ 物理和 B 物理。其中一个共同的重要问题是粒子分辨, 尤其 $1-4\text{GeV}/c$ 的 π/K 分辨和低于 $0.5\text{GeV}/c$ 的 μ/π 分辨颇为困难, 通常的 TOF 和 dE/dx 方法不适用, 能量低于 $0.5\text{GeV}/c$ 的 μ 子在典型的谱仪设计里^[1-3] 被内层的量能器吸收而无法由外层的 μ 计数器辨认, 故它们主要靠切伦科夫探测器来分辨。目前已提出的有两类: 气凝胶式计数器^[4] 和石英辐射体环象计数器^[5], 但后者的环象测量和分析十分复杂, 前者则占据空间很大, 使其外围的电磁量能器体积增大, 造价急剧上升。这两种方法都使用大量光电倍增管故价格昂贵。

新近 K. Honscheid 等提出用切伦科夫相关时间测量(Cherenkov Correlated Timing, 简写 CCT)^[6] 作粒子分辨, 它具有空间小、测量简单、价格便宜等优点, 又能满足 $1-4\text{GeV}/c$ π/K 分辨和低于 $0.5\text{GeV}/c$ μ/π 分辨的要求, 有希望成为好的粒子分辨探测器。该方法目前处于模拟计算和模型试验阶段, 虽然其基本测量原理易于实现, 但有一些相关的问题需加以解决。例如“原始”粒子在 CCT 的辐射体中可产生 δ 电子, 后者产生的切伦科夫辐射光子(以下简写为 γ_δ)会与原始粒子的切伦科夫辐射光子(简写为 γ_p)同时出现, 导致对原始粒子信号的畸变。对此 K. Honscheid 的论文中没有指出和讨论。

本文对影响到利用 CCT 作粒子分辨是否可行的 δ 电子效应进行讨论和研究。以 BTCF 中的 CCT 初步设计为例, 首先简要介绍 CCT 的工作原理, 然后描述原始粒子在石英辐射体中产生 δ 电子的概率和各种分布, 通过模拟计算给出 γ_p 和 γ_δ 的有关分布, 讨论如何

压低 δ 电子对原始粒子信号的干扰, 最后给出 BTCF 初步设计中 CCT 的 π/K 分辨本领.

2 BTCF 中 CCT 及工作原理

BTCF 中 CCT 的初步设计, 是由 100 根长 3200mm、宽 40mm、厚 20mm 的长方体石英

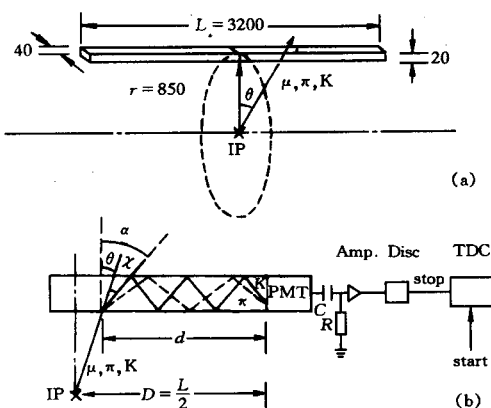


图 1 BTCF 中的 CCT 探测系统(a)和 CCT 工作原理(b)

棒, 在距对撞机对撞中心 (IP) 半径 850mm 处围成圆筒状. 每根石英棒两端与 Hamamatsu R6150 网栅抗磁型光电倍增管^[7] PMT 耦合, PMT 的输出信号经 RC 电路和放大器进入定阈值甄别器, 信号的过阈时刻 t_1 作为 TDC 的 stop 信号, TDC 的 start 信号与 e^+e^- 在 IP 的对撞时刻 t_0 (时间零点) 相对应(见图 1). CCT 处于 $B = 1\text{T}$ 螺旋管磁场内. 速度 $\beta (> 1/n)$ 的带电粒子射入石英棒时(石英 $n = 1.46$), 所产生的 γ_p 光子以锥角 χ 辐射:

$$\cos \chi = \frac{1}{n\beta} = \frac{E}{np}, \quad (1)$$

χ 为 γ_p 相对于粒子飞行方向的夹角, p 和 E 为粒子的动量和能量. 在对撞点产生并出射的粒子的动量、射入石英棒的位置和角度 θ 可用 CCT 半径以内的径迹探测器给出. 所谓粒子分辨, 就是确定一定动量粒子的质量. 由(1)式可知, 动量相同的不同粒子(质量不同)其速度 β 不同, 故辐射角 χ 不同. 测定了 χ 就实现了粒子分辨.

由图 1 可知, γ_p 射向石英棒与空气界面的角度 α 的最大可能值为 $\alpha = \theta + \chi$, 当 α 大于临界角 $\theta_c = \sin^{-1}\left(\frac{1}{n}\right)$, 则 γ_p 在石英棒内通过内全反射到达棒端面的 PMT. 由于石英棒很薄 (2cm), 忽略 γ_p 在石英棒内产生地点的微小差异, 它在棒内走过的最短距离(到达端面)为 $d/\sin\alpha$, d 为粒子入射点到石英棒端面的距离.

CCT 依靠测量粒子的特征时间

$$t_l = t_1 + t_2 + t_c, \quad (2)$$

$$t_1 = \frac{r}{\cos\theta \cdot \beta c} = \frac{r}{\cos\theta} \frac{E}{cp}, \quad (3)$$

$$t_2 = \frac{D - rt\theta}{\sin\alpha} \cdot \frac{n}{c}, \quad (4)$$

来进行粒子分辨, t_1 是粒子从对撞点(时间为 0) 到达石英棒所需的时间, t_2 是 γ_p 传输到石英棒端面所需的时间, t_c 是光子射入 PMT 到信号在甄别器过阈的时刻间的时间差, 是一个常数. 对于射入石英棒位置和角度相同、动量 p 相同的不同粒子 i 和 j, CCT 测到的特征时间

t_i^i 和 t_i^j 之差 Δt^{ij} 为

$$\Delta t^{ij} = \left| t_i^i - t_i^j \right| = \left| \frac{r}{\cos \theta} \frac{E_i - E_j}{cp} + \frac{n}{c} (D - rt \tan \theta) \left(\frac{1}{\sin \alpha_i} - \frac{1}{\sin \alpha_j} \right) \right|. \quad (5)$$

图 2 是 BCF 设计中 CCT 对 π 、K 的时间差 Δt 与动量和入射角 θ 的关系曲线。

3 粒子在石英棒中的 δ 电子产生

自旋为 0 的带电粒子在每 cm 介质中产生动能 $T-T+dT$ 的 1 个 δ 电子的概率为^[8]

$$\phi dT = \frac{2Cz^2 m_e}{\beta^2 T^2} \left(1 - \beta^2 \frac{T}{T_{\max}} \right) dT, \quad (6)$$

$$T_{\max} = \frac{2m_e(\gamma^2 - 1)}{1 + 2\gamma \frac{m_e}{M} + \left(\frac{m_e}{M} \right)^2}, \quad (7)$$

式中 T_{\max} 是 δ 电子的最大动能, M 、 z 、 β 、 γ ($= E/M$) 是粒子的质量、电荷、速度和能量, C 为与介质有关的常数,

$$C = \pi N_A r_e^2 \frac{Z\rho}{A} = 0.15023 \frac{Z\rho}{A} (\text{cm}^{-1}). \quad (8)$$

对于石英, $Z = 10$, $A = 20$, $\rho = 2.2 \text{ g/cm}^3$. 当 $r \ll \frac{M}{2m_e}$ (本文研究的 K、 π 动量区间即属此类情况), (6) 式对自旋 $1/2$ 和 1 的粒子是很好的近似. 由此可求得粒子在每 cm 介质中打出的动能高于 T 的 δ 电子数

$$\frac{dN_\delta}{dx} = \int_T^{T_{\max}} \phi dT = 2Cz^2 m_e \left[\frac{1}{\beta^2} \left(\frac{1}{T} - \frac{1}{T_{\max}} \right) - \frac{1}{T_{\max}} \ln \frac{T_{\max}}{T} \right]. \quad (9)$$

当 δ 电子动能高于 $T_0 = 0.3725m_e = 0.190 \text{ MeV}$ 时, 其速度 $\beta_\delta > \beta_{th} = 1/n$, 则能在石英棒中产生 γ_δ 光子, 从而干扰原始粒子的信号. 表 1 列出了 $1 \text{ GeV}/c$ 的 $\mu/\pi/K$ 以不同 θ 穿过 2 cm 石英棒产生的动能高于 T_0 的 δ 电子数 N_δ . 但这些 δ 电子产生的 γ_δ 能否到达 PMT 而干扰原始粒子的信号取决于 N_δ 的数值, δ 电子相对于原始粒子的发射极角和方位角 θ_δ 、 ϕ_δ , 以

表 1 $p=1 \text{ GeV}/c$ 的 $\mu/\pi/K$ 在 2 cm 厚石英棒中产生的动能大于 T_0 的 δ 电子数 N_δ

粒子 N_δ	θ	0°	10°	20°	30°	40°	50°	60°
μ		1.77	1.80	1.88	2.04	2.31	2.75	3.54
π		1.76	1.80	1.88	2.04	2.31	2.75	3.54
K		1.45	1.48	1.55	1.68	1.90	2.26	2.91

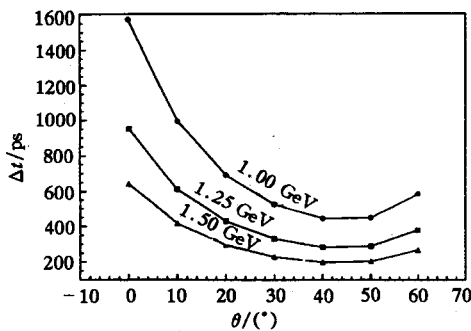


图 2 BCF 设计中的 CCT 对 π 、K 粒子测量的特征时间差 Δt 与动量 p 和入射角 θ 的关系

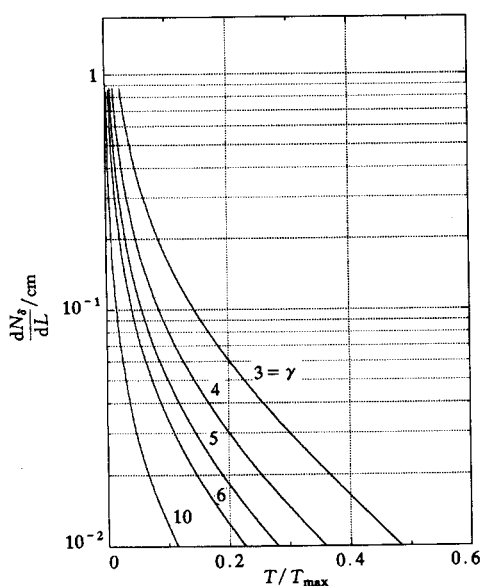


图3 能量 $E = \gamma M$ 的 μ 、 π 、K在1cm石英中产生的动能高于 T 的 δ 电子数

原始粒子的信号幅度小。

(3) 粒子入射角 θ 接近 $\theta_{\max} \approx 60^\circ$ (粒子射到接近 PMT 的石英棒端部), t_1 的贡献占 t_i 的绝大部分, γ_δ 的干扰最小, $\theta \approx 0^\circ$ 附近, t_2 对 t_i 的贡献大, γ_δ 会对 γ_p 形成明显的干扰。

由此可知, 由于 δ 电子干扰效应, CCT 进行粒子分辨原理上仍然可行, 但分辨能力降低, 在 $\theta \approx 0^\circ$ 附近尤其明显。

4 模拟计算

按图1所示, 从IP飞出的粒子以角度 θ 射入石英棒, 产生若干个 γ_p 经全反射到达PMT窗, 其脉冲信号经RC电路($R = 50\Omega$, $C = 100\text{pf}$)输入甄别器, 前沿过甄别阈的时刻 t_i 作为TDC的停止信号。CCT通过 t_i 值来确定入射粒子速度 β 。入射粒子在石英棒中会产生 δ 电子, 它们产生的 γ_δ 若到达PMT则可能使 t_i 值变化。模拟计算即是利用Monte Carlo方法模拟以上过程求得 t_i 值。

4.1 原始粒子的产生

在 $\theta = 0^\circ, 20^\circ, 40^\circ, 60^\circ$ 产生动量 $p = 0.8, 1.0, 1.5, 2.0\text{GeV}/c$ 的 π 和 K, 径迹室的角分辨取为 $\sigma_\theta = 1\text{mrad}$ 和 $\sigma_\phi = 0.5\text{mrad}$, 粒子射入石英棒的位置在其宽度 4cm 的中心处。

4.2 δ 电子产生

原始粒子在石英棒内产生的动能高于 T_0 的 δ 电子数 N_δ 按其方向 θ 和(9)式计算, 然后按均匀随机抽样取整。产生位置沿原始粒子在石英棒内径迹长度均匀抽样。动能 T 按

及 γ_δ 相对于 δ 电子的极角和方位角。此外, 还需考虑 δ 电子在石英中的能量损失以及在 1T 磁场中的运动。因此关系十分复杂。

由以上讨论可知, δ 电子肯定对 CCT 粒子分辨产生干扰, 但因关系复杂只能通过仔细的模拟研究才能确定。然而根据 δ 电子的产生机制和性质, 可有以下定性的推断:

(1) 根据(6)式的 δ 电子能谱(亦见图3), 低能 δ 电子出现的概率很大, 在 BCF 1T 磁场中的运动轨迹是半径很小的螺旋线, 故在石英棒中产生的 γ_δ 的角度分布相对均匀, γ_δ 到达 PMT 的时间在时间轴上的分布亦相对均匀。这与原始粒子的特征时间相对集中形成鲜明对比。

(2) 由于 δ 电子能量低, 且在石英棒中能量损失很快, 故其路程很短, γ_δ 光子数远小于原始粒子的 γ_p 光子数, 故 δ 电子的干扰脉冲比

(6)式抽样. 方位角 ϕ_0 在 $(0, 2\pi)$ 内均匀抽样. 极角 θ_δ 由运动学关系推得

$$\cos \theta_\delta = \frac{m_e + E}{p} \sqrt{\frac{T}{T + 2m_e}}. \quad (10)$$

δ 电子产生后, 其运动轨迹按步长 ΔS 逐步跟踪, 考虑其能量损失^[7]

$$\frac{dE}{dx} = 2Cm_e \left[\ln \frac{\pi^2 m_e^2}{(1 - \beta^2)^{3/2} I^2(Z)} - 2.9 \right], \quad (11)$$

$$I(Z) = 13.5Z(\text{eV}),$$

多次散射, 以及在磁场中的螺旋线运动

$$R(\text{cm}) = \frac{10^3 p_\perp (\text{GeV}/c)}{3H(\text{T})}, \quad (12)$$

直到 δ 电子动能 T 低于阈动能 T_0 为止. δ 电子的追踪步长取为 $\Delta S = \frac{2\pi}{100} R$.

4.3 切伦科夫辐射光子产生

以下步骤对原始粒子和 δ 电子产生的切伦科夫辐射光子(简称辐射光子)都相同.

粒子在单位长度石英中产生的波长 $\lambda - \lambda + d\lambda$ 间的辐射光子数为

$$\frac{dN(\lambda)}{dx(\text{cm})} = \frac{2\pi Z^2}{137} \left(1 - \frac{1}{\beta^2 n^2(\lambda)} \right) \frac{d\lambda}{\lambda^2}. \quad (13)$$

光子辐射极角 χ 按(1)式和石英中的色散关系^[9]

$$n^2(\lambda) = 2.979 + \frac{0.0088}{\lambda^2 - 0.0106} - \frac{84.06}{96 - \lambda^2} \quad (14)$$

计算, 式中 λ 以 μm 为单位. 辐射光子方位角在 $(0, 2\pi)$ 内均匀随机产生. 辐射光子产生位置沿粒子径迹均匀随机抽样.

4.4 辐射光子在石英中传播

当 $\alpha < \theta_c$ 时, 则认为辐射光子不能全反射而损失; 若 $\alpha \geq \theta_c$ 则由全反射到达 PMT 被探测. 在界面无损失, 光在石英内的衰减由指数律描述

$$N(l) = N(l=0) e^{-l/l_d}, \quad (15)$$

衰减长度 l_d 取为 858cm .

4.5 辐射光子在 PMT 中的探测

透紫人口窗、抗磁光电倍增管 Hamamatsu R6150 的性能见文献 [7], 1T 磁场下增益为

$G = 2.5 \times 10^5$, 脉冲上升时间 $\tau = 2.5\text{ns}$, 光阴极量子效率- λ 的关系在模拟中作了考虑, PMT 电子倍增导致的传输时间涨落(jitter)考虑为高斯分布, 标准偏差 $\sigma_{\text{TS}} = 187\text{ps}$. 当光阴极产生 1 个光电子, PMT 的阳极输出电流为

$$i_0(t) = at^2 e^{-t/\tau}, \quad (16)$$

式中 $a = Q/2\tau^3$, $Q = eG = 4.0055 \times 10^{-8}\mu\text{C}$. PMT 对一个入射粒子的输出信号是入射粒子及其 δ 电子产生的所有 γ_p , γ_δ 在 PMT 光阴极产生的所有单光子信号按时间的迭加.

4.6 探测电子学

PMT 的单光子的输出 $i_0(t)$ 经放大器放大 k 倍, 变成 $V_{\text{in}}^0(t) = kat^2 e^{-t/\tau}$, 经过 RC 回路后的信号为

$$V_{\text{out}}^0(t) = \frac{2ak\tau^3 R^2 C^2}{(\tau - RC)^3} e^{-t/RC} - \frac{akRC}{\tau - RC} e^{-t/\tau} \left[t^2 - \frac{2\tau^2}{\tau - RC} t + \frac{2\tau^3 RC}{(\tau - RC)^2} \right]. \quad (17)$$

一个人射粒子的输出信号 $V_{\text{out}}(t)$ 是所有单光子相应的 $V_{\text{out}}^0(t)$ 的按时间叠加, 它的上升沿到达甄别器的甄别阈设置值

$$V_{\text{th}} = 0.1 V_{\text{in}}^0(\text{max}) = 0.4ka\tau^2 e^{-2} \quad (18)$$

的时刻 t_i 作为最终的测量量.

5 δ 电子干扰效应及减小的方法

图 4 说明了 δ 电子对 t_i 的可能影响. 图中(a)、(c)为不考虑和考虑 δ 电子时单个 $\pi(1\text{GeV}/c)$ 产生的辐射光子到达 PMT 窗的时间分布, (b)、(d)为 RC 线路后的相应 $V_{\text{out}}(t)$.

当甄别器阈值如图中虚线所示(数值相同)时, 两者的 t_i (箭头所示)显然不同. 换言之, 由于 δ 电子干扰, 测到的 t_i 可能不反映入射粒子的速度.

图 5(a)显示了 500 个 $1\text{GeV}/c$ 的 π/K 粒子以 $\theta = 0^\circ$ 入射时的 t_i 分布, δ 电子效应已考虑在内. 两个近似于高斯型的尖峰与 π/K 产生的辐射光子对应, 其平均值 $\bar{t}_i(\pi), \bar{t}_i(K)$ 表征了 CCT 系统对 π/K 的速度 β_π, β_K 的响应, 其标准偏差 σ_π, σ_K 表征了对 π/K 的速度分辨率. 高斯峰之前的 t_i 则是 δ 电子干扰所致, 当不考虑 δ

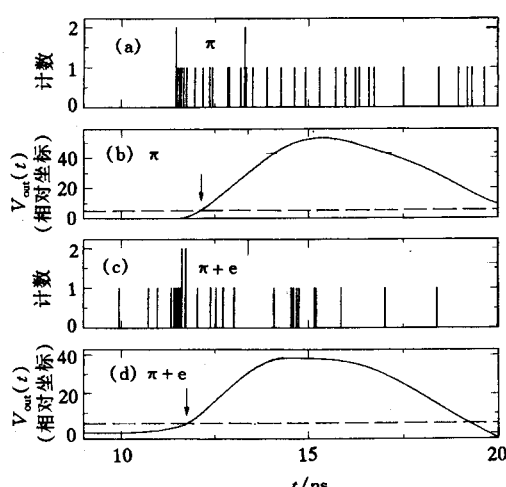
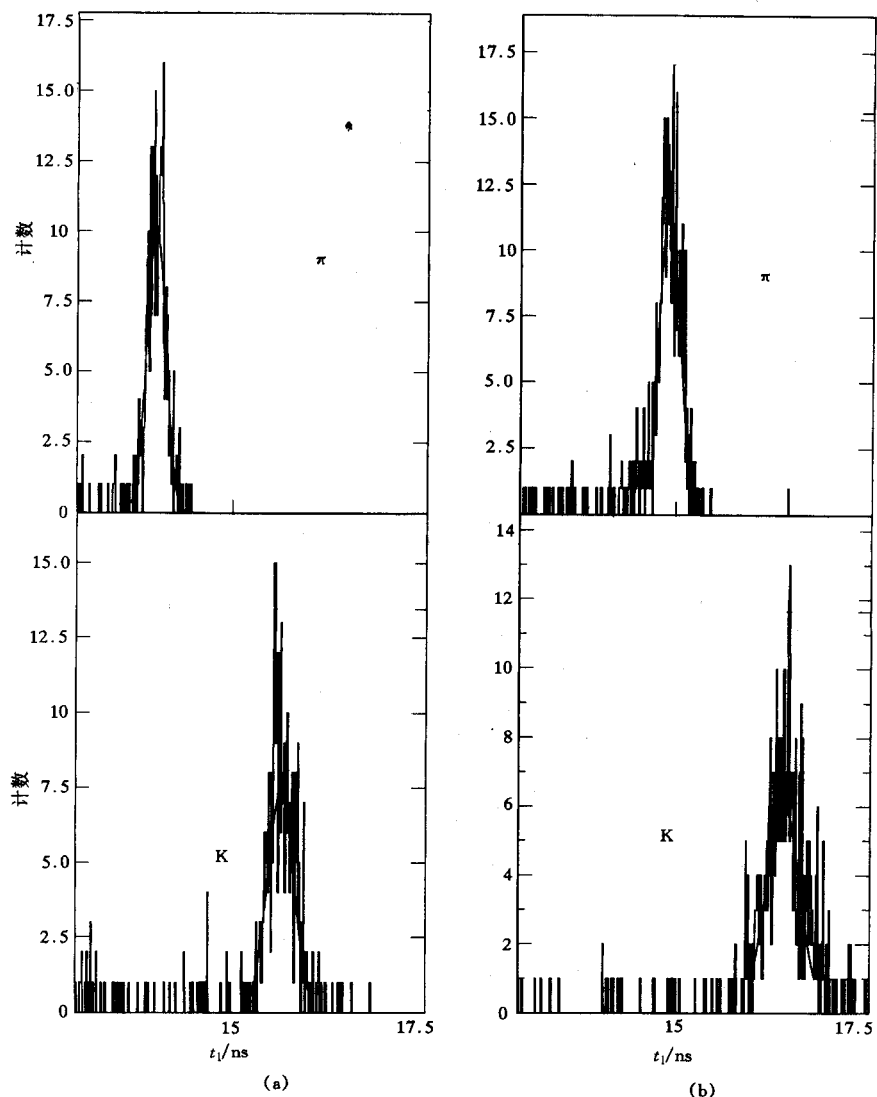


图 4 δ 电子效应对 t_i 的影响
 $1\text{GeV}/c \pi, \theta=15^\circ$; (a), (b) 不考虑 δ 电子;
(c), (d) 考虑 δ 电子.

图 5 500 个 $1\text{GeV}/c \pi/K$ 在 $\theta = 0^\circ$ 时的 t_l 分布(a) 固定阈值 $V_{th} = 0.1 V_{in}(\max)$; (b) 恒比定时阈 $V_{th} = 0.2 V_{out}(\max)$.

电子干扰时不出现. 定义误判率

$$r_K = N'_K / N_K, \quad (19)$$

式中 N'_K 是 K 粒子信号的 $t_l(K)$ 满足

$$t_l(K) < \bar{t}_l(K) - 3\sigma_K \equiv t_l(\text{cut}) \quad (20)$$

的 K 粒子数, 即 N'_K 是其 $t_l(K)$ 不反映 K 粒子真实速度的信号个数, N_K 是 K 粒子总数, $t_l(\text{cut})$ 则可作为 π/K 粒子区分的切割条件 ($t_l < t_l(\text{cut})$ 信号视为 π 粒子, 反之为 K). CCT 的 π/K 分辨本领用 $\sigma_{\pi/K}$ 表示:

$$\sigma_{\pi/K} = \frac{|\bar{t}_i(\pi) - \bar{t}_i(K)|}{\sqrt{\sigma_\pi^2 + \sigma_K^2 + \sigma_c^2}}, \quad (21)$$

式中 σ_c 是 CCT 系统之外的其它因素导致的 t_i 测量中的附加不确定性, 是一常数, 例如 BTCP 中 e^+e^- 束流 z 向长度 ($\sim 1\text{cm}$) 导致的时间测量的不确定性 33ps. 在本文的情形下, σ_c 比 σ_π, σ_K ($> 100\text{ps}$) 小得多, 可以忽略.

表 2 的第一行列出了动量 $1\text{GeV}/c$ K 粒子的误判率 r_K 与入射角 θ 的关系, 第二行列出 $1\text{GeV}/c$ 的 π 与 K 粒子的 $\sigma_{\pi/K}$ 值. 这些数值是 500 个 K 和 π 粒子模拟计算求出的, 鉴别器阈值固定于 $V_{th} = 0.1 V_{in}^0(\max)$. 在 $\theta = 0^\circ - 15^\circ$ 区间内, 误判率 r_K 高达 20% 以上. 这在实验中是不能容许的, 必须设法解决这一 δ 电子效应导致的问题.

表 2 两种方法对 $1\text{GeV}/c$ K/ π 的 r_K 和 $\sigma_{\pi/K}$ 值

		θ	0°	5°	10°	15°	20°
固定阈值法	r_K		0.218	0.266	0.290	0.236	0.132
	$\sigma_{\pi/K}$		7.91	8.09	6.70	5.95	5.17
恒比定时阈法	r_K		0.064	0.078	0.038	0.006	0.000
	$\sigma_{\pi/K}$		5.93	4.36	4.11	3.93	3.73

由于 γ_δ 个数比 γ_p 少, 且 γ_δ 在时间轴上分布比较均匀, 它的贡献是使一个粒子的输出脉冲 $V_{out}(t)$ 的前沿变得平缓, 但平缓部分的幅度较低 (见图 4(d)). 因此, 若将 V_{th} 设定为一个固定的较高的值, r_K 会减小, 但 σ_π, σ_K 会明显增加, $\sigma_{\pi/K}$ 减小而降低了 π/K 分辨能力. 一个合适的方法是采用恒比定时阈

$$V_{th} = 0.2 V_{out}(\max), \quad (22)$$

$V_{out}(\max)$ 是 $V_{out}(t)$ 的幅度最大值, 既可减小 r_K 值, 又使 $\sigma_{\pi/K}$ 不至于明显变坏. 这种情形

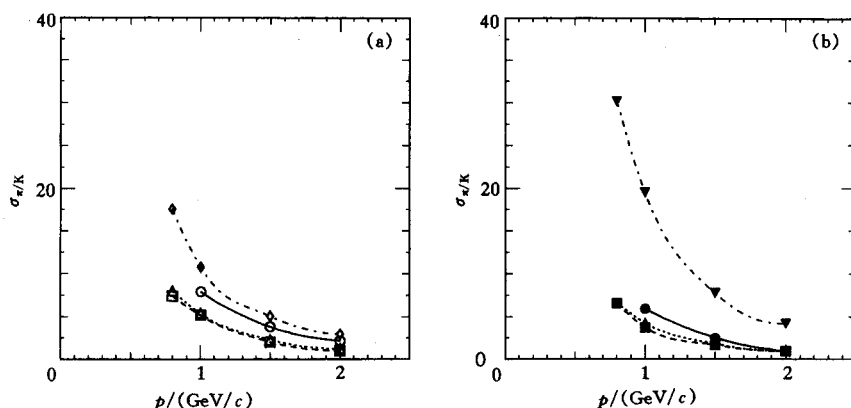


图 6 两种方法的 $\sigma_{\pi/K}-p$ 关系

- (a) ○、□、△、◇ 对应于 $\theta = 0^\circ, 20^\circ, 40^\circ, 60^\circ$, 固定阈 $V_{th} = 0.1 V_{in}^0(\max)$;
(b) ●、■、▲、▼ 对应于 $\theta = 0^\circ, 20^\circ, 40^\circ, 60^\circ$, 恒比定时阈 $V_{th} = 0.2 V_{out}(\max)$.

下 $1\text{GeV}/c$ K/π 的 r_K 和 $\sigma_{\pi/K}$ 值也列于表 2 中, $V_{\text{out}}(t)$ 的 t_i 分布 ($\theta = 0^\circ$) 则示于图 5(b)。由表 2 可知, r_K 已减小到可接收的程度; 作为代价, 在 θ 小角度区域, $\sigma_{\pi/K}$ 较之固定阈值法略有下降。

大致地说, 当 $\sigma_{\pi/K} \geq 2$ 时, 可实现 π/K 的有效分辨。图 6 给出了上述两种方法的 $\sigma_{\pi/K}$ 与动量 p 的关系。由图可知, 利用恒比定时阈法, 在目前 BTGF 的 CCT 设计中可对动量 $p \leq 1.5\text{GeV}/c$ 的 π/K 实现有效的分辨。固定阈值法虽然对多数 θ 区域内有较高的 $\sigma_{\pi/K}$ 值, 但在 θ 大角度区并无优势, 尤其在 θ 小角度区有相当大的 K/π 误判率, 因而实际上无法使用。

6 结论

(1) Honscheid 等^[6]提出的 CCT 粒子分辨方法必须考虑原始粒子在切伦科夫辐射体中产生的 δ 电子的干扰效应。

(2) δ 电子产生的辐射光子在时间轴上分布均匀, 原始粒子产生的辐射光子在时间轴上分布相对集中, 因此利用适当的方法减小 δ 电子干扰效应成为可能, 但粒子分辨能力有一定程度的降低。

(3) 恒比定时阈法使 π/K 误判率降低到可接受的程度, 可在 BTGF CCT 目前的设计下实现 $p \leq 1.5\text{GeV}/c$ 的 π/K 有效分辨。

(4) 利用上升时间更快、渡越时间涨落 (σ_{TTS}) 更小的光电信增管可改善 CCT 的粒子分辨能力, 扩展 π/K 有效分辨的动量区间, 但这有赖于石英窗、抗磁光电倍增管技术的发展。

感谢盛华义、高翠山研究员与我们在电子学方面的有益讨论。

参 考 文 献

- [1] BaBar Collab. Letter of Intent for the Study of CP Violation and Heavy Flavor Physics at PEP-II. SLAC: SLAC-443, 1994. 1—325
- [2] Belle Collab. Letter of Intent for A Study of CP Violation in B Meson Decays. KEK: KEK Report 94-2, 1994. 1—330
- [3] Institute of High Energy Physics, the Chinese Academy of Sciences. Feasibility Study Report on Beijing Tau-Charm Factory. Beijing: IHEP-BTGF Report-03, 1996. 1—303
- [4] Coyle P, et al. Workshop on Detector Issues for a High Luminosity B Factory at SLAC. SLAC-373, 1991
- [5] Eichler R. Motivation and Design Study for a B Meson Factory With High Iuminosity. PSI Report, SIN-PR-86-13, 1986
- [6] Honscheid K, Selen M, Sivertz M. Particle Identification via Cherenkov Correlated Timing. Nucl Inst Meth, 1994, A343: 306—310
- [7] Hamamatsu. Photomultiplier Tubes and Assemblies for Scintillation Counting and High Energy Physics. Hamamatsu, 1994. 1—28
- [8] Rossi B B. High Energy Particles. New York: Prentice-Hall Inc., 1952. 1—569
- [9] Selen M, Honscheid K. Particle ID via Cerenkov Correlated Timing. CLEO Preprint, 1992, CBX92-116: 1—22

The δ Ray Effect in Particle Identification via Cherenkov Correlated Timing

Zhu Yongsheng Chen Jiangchuan Cheng Baosen

(Institute of High Energy Physics, The Chinese Academy of Sciences, Beijing 100039)

Abstract The interference effect from δ electrons created by primary particle passing through radiator in Cherenkov Correlated Timing (CCT) technique is discussed, and the possible method to diminish this interference effect is proposed. The capability for π / K separation is given by Monte Carlo simulation for CCT design of the Beijing Tau-Charm Factory.

Key words Cherenkov correlated timing, particle identification, δ electron, Beijing Tau-Charm Factory